

# 黄鱼鱼鳔肽分离及其诱导前列腺癌 DU-145 细胞凋亡的机制

彭东<sup>1</sup>, 赖玉健<sup>1</sup>, 田秉昕<sup>2,3</sup>, 钟碧銮<sup>2,3</sup>, 安苗青<sup>1</sup>, 黎攀<sup>1,3</sup>, 杜冰<sup>1,3\*</sup>

(<sup>1</sup>华南农业大学食品学院 广州 510642)

(<sup>2</sup>广东参之源健康科技有限公司 广州 510000)

(<sup>3</sup>华南农业大学与官栈鱼胶营养安全研究中心 广州 510642)

**摘要** 为探讨黄鱼鱼鳔肽诱导前列腺癌 DU-145 细胞凋亡的作用机制,从黄鱼鱼鳔酶解产物中分离纯化得到鱼鳔肽,鉴定其氨基酸序列。采用 CCK-8 法检测鱼鳔肽作用后 DU-145 细胞抑制率的变化;AO/EB 法检测 DU-145 细胞凋亡情况;流式细胞术检测 DU-145 细胞凋亡率和周期;免疫印迹法检测 DU-145 细胞凋亡蛋白表达。结果表明,分离得到的鱼鳔肽 YCSB-1c 中包含 Ser-Pro-Ser-Pro 和 Gly-Pro-Ala-Arg 两条寡肽。与空白组相比,YCSB-1c 组中凋亡细胞明显增多,且呈质量浓度依赖性;流式细胞仪检测得出 YCSB-1c 组中存活细胞明显减少,晚期凋亡细胞明显增多。YCSB-1c 将 DU-145 细胞的细胞周期阻滞在 G0/G1 期,上调 Bax、Caspase-3 及 Caspase-9 蛋白表达,诱导 DU-145 细胞凋亡。YCSB-1c 能有效诱导 DU-145 细胞凋亡,其作用机制与细胞周期停滞和线粒体介导的凋亡途径有关。

**关键词** 黄鱼鱼鳔; 抗前列腺癌肽; DU-145 细胞; 凋亡机制

**文章编号** 1009-7848(2023)02-0072-11    **DOI:** 10.16429/j.1009-7848.2023.02.007

鱼鳔位于硬骨鱼体腔内的背部,是鱼维持平衡的重要器官。在鱼类加工过程中,鱼鳔经常被作为废弃物处理,造成资源的浪费,鱼鳔的高值化利用引起人们的关注<sup>[1]</sup>。鱼鳔在我国有着悠久的食用和药用历史,最早的食物文字记录可追溯到北魏时期的《齐民要术》,药用文字记录可追溯到唐朝的《本草拾遗》。鱼鳔的主要成分为胶原蛋白,鱼鳔多肽是胶原蛋白的酶解产物,具有抗氧化、抗衰老、抗疲劳和抗癌等多种功效<sup>[2-4]</sup>。

前列腺癌是全球男性最常见的恶性肿瘤之一<sup>[5]</sup>。在我国,前列腺癌的发病率和死亡率呈逐年增高的趋势,前列腺癌的防治是我国公共卫生当前面临的重大挑战<sup>[6]</sup>。抗癌肽具有易获得性、生物相容性、高效性和低毒性等多种优点,在癌症治疗中表现出巨大的潜力<sup>[7]</sup>。研究表明抗癌肽的作用机制主要包括:参与诱导癌细胞周期停滞、诱导癌细胞凋亡、抗癌细胞血管新生、抑制肿瘤干细胞和激

活机体免疫应答<sup>[8-10]</sup>。课题组前期测得黄鱼鱼鳔中蛋白质含量高达 75%以上,是生产胶原蛋白肽的优质原料来源<sup>[11]</sup>。本试验从黄鱼鱼鳔酶解产物中分离纯化抗前列腺癌肽,探究其对前列腺癌细胞 DU-145 细胞的作用效果,并推测诱导细胞凋亡的机制,以期明确黄鱼鱼鳔肽抗前列腺癌的作用机制,同时也为黄鱼鱼鳔的高值化利用提供参考。

## 1 材料与方法

### 1.1 材料与试剂

干制黄鱼鱼鳔,购买于当地海鲜市场;前列腺癌细胞 DU-145 细胞、DU-145 细胞专用培养基,武汉普诺赛生命科技有限公司;胰蛋白酶消化液、二甲基亚砜,美国 Amresco 公司;二硫苏糖醇(DTT)、碘乙酰胺(IAA),美国 Sigma 公司;AO/EB 染色试剂盒、Annexin V-FITC 试剂盒、PI 试剂盒、BCA 蛋白质定量检测试剂盒,生工生物工程(上海)股份有限公司;CCK-8 试剂,广州松鼠生物科技有限公司;Bax、Caspase-3、Caspase-9 和  $\beta$ -actin 抗体,美国 Cell Signaling Technology 公司;中性蛋白酶、碱性蛋白酶,广州柏棠贸易有限公司;Sephadex G-25 凝胶填料、DEAE-52 凝胶填料,北京瑞达恒辉科技发展有限公司;其余试剂为分析纯级。

收稿日期: 2022-02-21

基金项目: 广东省自然科学基金面上项目(2020A151501268);财政部和农业农村部:国家现代农业产业技术体系资助(CARS-21)

第一作者: 彭东,男,博士生

通信作者: 杜冰 E-mail: dubing@scau.edu.cn

## 1.2 仪器与设备

LC-20AT 高效凝胶渗透色谱仪、1260 高效液相色谱仪、1290-6470 超高压液质联用色谱仪, 美国 Agilent 公司; CytoFLEX 流式细胞仪, 美国 Beckman Coulter 有限公司; VarioskanTM LUX 多功能酶标仪, 赛默飞世尔科技(中国)有限公司; TCS SP8 激光共聚焦荧光显微镜, 德国 Leica 公司; Alpha 2-4 LD plus 真空冷冻干燥机, 德国 Christ 公司。

## 1.3 方法

**1.3.1 黄鱼鱼鳔酶解液的制备<sup>[12]</sup>** 黄鱼鱼鳔清洗去除杂质 → 料液比 1:20 浸泡 4 h → NaOH 调 pH 值至 8.5 → 加 0.75% 碱性蛋白酶、0.25% 中性蛋白酶 → 55 ℃恒温酶解 4 h → 升温至 90 ℃保持 10 min 灭酶 → 冷却至室温 → 4 000 r/min 离心 15 min → 取上清 → 鱼鳔酶解液 → 真空浓缩、冷冻干燥得到鱼鳔多肽冻干粉。将多肽冻干粉送至广东省测试分析研究所进行多肽分子质量测定。

**1.3.2 鱼鳔多肽的纯化** 取鱼鳔多肽冻干粉溶于蒸馏水中, 配置成质量浓度为 10 mg/mL 的溶液, 使用中空纤维超滤膜(1 ku)过滤, 收集<1 ku 的组分, 冻干备用。将收集到的组分经 Sephadex G-25 凝胶色谱柱进一步纯化。蒸馏水作为洗脱液, 每管流速为 0.7 mL/min, 用自动收集器收集洗脱液。采用微量紫外分光光度计测定洗脱液吸光值, 收集单峰组分, 真空浓缩、冷冻干燥。测定组分对 DU-145 细胞的抑制率。

Sephadex G-25 凝胶交换柱纯化后的组分经 DEAE-52 阴离子交换柱进一步纯化。分别采用纯水、0.1 mol/L、0.2 mol/L NaCl 溶液为洗脱液, 每管流速为 2 mL/min, 每管收集体积为 5 mL。测定每管收集的洗脱液的吸光值, 收集后冻干单峰组分。测定组分对 DU-145 细胞的抑制率。

DEAE-52 阴离子交换柱纯化后的组分经反相高效液相色谱 (Reversed-phase high performance liquid chromatography, RT-HPLC) 进一步纯化。色谱条件设置如下:Pursuit XRs C-18 色谱柱(250 mm×21.2 mm, 10 μm), A 相——含 0.1% 三氟乙酸的水, B 相——含 0.1% 三氟乙酸的乙腈; 流速为 1 mL/min, 色谱柱温度为 35 ℃, 紫外检测器的波长为 280 nm。梯度洗脱条件如下:A 相:0~12

min, 95% → 80%; 12~24 min, 80% → 5%。按顺序收集单峰组分, 浓缩后真空冻干。测定各组分对 DU-145 细胞的抑制率, 对抑制率最高的组分进行序列鉴定。

**1.3.3 鱼鳔多肽序列鉴定** 在待鉴定组分中加入 DTT 溶液使其终浓度为 10 mmol/L, 56 ℃水浴中还原 1 h, 加入 IAA 溶液使其终浓度为 50 mmol/L, 避光反应 40 min 后, 脱盐, 并于 45 ℃条件下在真空离心浓缩仪中使溶剂挥干。在使用 LC-MS/MS 检测前用 10 mL 0.1% 甲酸中重悬。色谱条件如下: ReproSil-Pur C18-AQ resin(1.9 μm, 100 Å) 填充色谱柱(150 μm×15 cm), 进样体积 5 μL, A 相——含 0.1% 甲酸的水, B 相——含 0.1% 甲酸的乙腈, 流速为 600 nL/min。梯度洗脱条件如下:A 相:0~2 min, 96% → 92%; 2~45 min, 92% → 72%; 45~55 min, 72% → 60%; 55~66 min, 60% → 5%。质谱条件: 样品用 Q Exactive™ UHMR 组合型四极杆 Orbitrap™ 质谱仪分析, 电压为 2.2 kV, 温度为 270 ℃, CID 检测器, 母离子扫描范围 *m/z* 100~1 500。

**1.3.4 鱼鳔多肽对 DU-145 细胞的抑制率测定** DU-145 细胞用 DU-145 专用培养基培养, 在 37 ℃、5% CO<sub>2</sub> 条件下培养细胞单层生长至铺满瓶底 80% 左右时进行传代或用于试验。取 100 μL 对数生长期 DU-145 细胞以 2×10<sup>5</sup> 个/mL 浓度接种于 96 孔板, 培养 24 h 后加入 10 μL 鱼鳔多肽样品, 孵育 24 h 后加入 10 μL CCK-8 溶液, 反应 2 h, 用酶标仪在波长 450 nm 处测定吸光度。抑制率计算公式如式(1)。

$$\text{抑制率}(\%) = \frac{A_2 - A_0}{A_1 - A_0} \times 100 \quad (1)$$

式中, *A*<sub>0</sub>——培养基+CCK-8 溶液的吸光值; *A*<sub>1</sub>——细胞+CCK-8 溶液的吸光值; *A*<sub>2</sub>——细胞+样品+CCK-8 溶液的吸光值。

**1.3.5 AO/EB 法测定 DU-145 细胞凋亡** 取对数生长期 DU-145 细胞以 2×10<sup>5</sup> 个/mL 浓度接种于 6 孔板中, 每孔 2 mL, 培养 24 h 后更换培养液, 分别加入含有 50, 250 μg/mL 和 750 μg/mL 鱼鳔多肽的培养液, 空白组加入原始培养液, 继续培养 24 h。取出 6 孔板, 吸去上清液, PBS 洗涤 2 次, 弃去洗涤液。加入 10 μL AO/EB 混合液(*V*<sub>AO</sub>:*V*<sub>EB</sub>=1:1), 室温下避光孵育 5 min, 激光共聚焦荧光显微

镜下观察并拍照。

**1.3.6 流式细胞仪测定细胞凋亡** 取对数生长期 DU-145 细胞以  $2 \times 10^5$  个/mL 浓度接种于 6 孔板中, 分别加入含 50, 250  $\mu\text{g}/\text{mL}$  和 750  $\mu\text{g}/\text{mL}$  鱼鳔多肽的培养液, 空白组加入原始培养液, 培养 48 h。2 500 r/min 条件下离心 5 min 收集沉淀, 加入 4 °C 预冷 PBS 溶液, 于 2 500 r/min 下离心 5 min, 收集沉淀, 重复两次。加入 500  $\mu\text{L}$  结合缓冲溶液重悬细胞后, 加入 5  $\mu\text{L}$  Annexin V-FITC 溶液, 避光反应 5 min 后, 加入 5 mL PI 溶液, 避光静置 5 min。用 300 目筛网过滤, 流式细胞仪检测细胞凋亡。

**1.3.7 流式细胞仪测定细胞周期** 取对数生长期 DU-145 细胞以  $2 \times 10^6$  个/mL 浓度接种于 6 孔板中, 分别加入含 50, 250  $\mu\text{g}/\text{mL}$  和 750  $\mu\text{g}/\text{mL}$  鱼鳔多肽的培养液, 空白组加入原始培养液, 培养 48 h。2 500 r/min 条件下离心 5 min, 收集细胞, 用 4 °C 预冷 PBS 洗涤细胞 2 次后, 加入 1 mL 20 °C 的 70% 乙醇, 吹打均匀后静置过夜。2 500 r/min 条件下离心 5 min, 弃掉上清液, 用 4 °C 预冷 PBS 洗涤细胞后, 每管细胞加入 0.5 mL PI 染色液, 37 °C 避光放置 30 min, 流式细胞仪检测细胞周期。

**1.3.8 细胞凋亡蛋白表达** 利用试剂盒提取细胞总蛋白, 并利用 BCA 蛋白质定量检测试剂盒进行定量。利用免疫印迹法测定 Bax、Caspase-3 和 Caspase-9 蛋白在 DU-145 细胞中的表达量。

#### 1.4 数据分析

测定值以平均值±标准差表示, 试验重复 3 次。使用 SPSS 22 软件进行单因素方差分析, 通过 LSD 法对数据进行多重字母比较分析。采用 OriginPro 9.0 软件进行图形可视化处理, ChemDraw

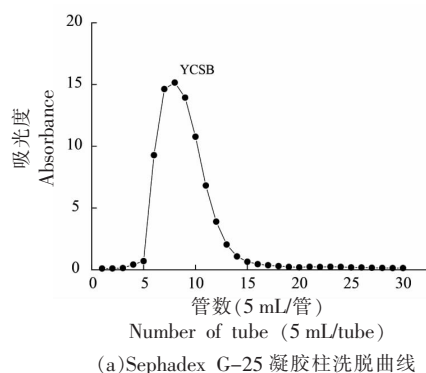


表 1 鱼鳔酶解产物分子质量

Table 1 Molecular weight of enzymatic hydrolysate of yellow croaker swim bladder

保留时间/ min	数均分子 质量/u	重均分子 质量/u	分布系数	百分含量/ %
25.34	1 567	1 509	1.038	36.73
27.42	642	618	1.039	63.27

8.0 软件绘制多肽结构。

## 2 结果与分析

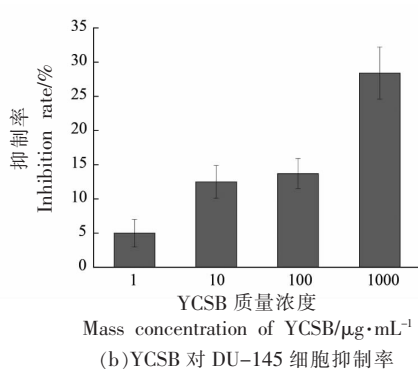
### 2.1 鱼鳔酶解液分子质量

采用 HPGPC 检测鱼鳔酶解液分子质量, 结果如表 1 所示。酶解后的鱼鳔多肽中分子质量大于 1 000 u 的多肽占比 36.73%, 分子质量小于 1 000 u 的多肽占比 63.27%, 其中小分子多肽占比率较高, 表明鱼鳔蛋白酶解程度较好。

### 2.2 鱼鳔多肽的分离纯化

鱼鳔酶解产物经 Sephadex G-25 凝胶层析柱纯化的洗脱曲线如图 1a 所示。在图 1a 中, 只出现一个峰, 表明仅有一种分子质量大小相近的多肽被洗脱下来, 命名为 YCSB。考察 YCSB 对前列腺癌细胞 DU-145 的抑制效果, 结果如图 1b 所示。随着 YCSB 质量浓度变大, 抑制率也随之增强, 呈现一定的质量浓度依赖性。当 YCSB 质量浓度为 1 000  $\mu\text{g}/\text{mL}$  时, 抑制率为 28.4%, 对 DU-145 细胞表现出一定的抑制作用, 可推断出 YCSB 中存在抗前列腺癌肽。

选用 DEAE-52 阴离子交换层析柱来对 YCSB 进行纯化, 得到的洗脱曲线如图 1c~1e。纯水洗脱曲线中仅有一个峰, 收集并命名为 YCSB-1; 0.1 mol/L NaCl 洗脱曲线中有一高一低 2 个峰,



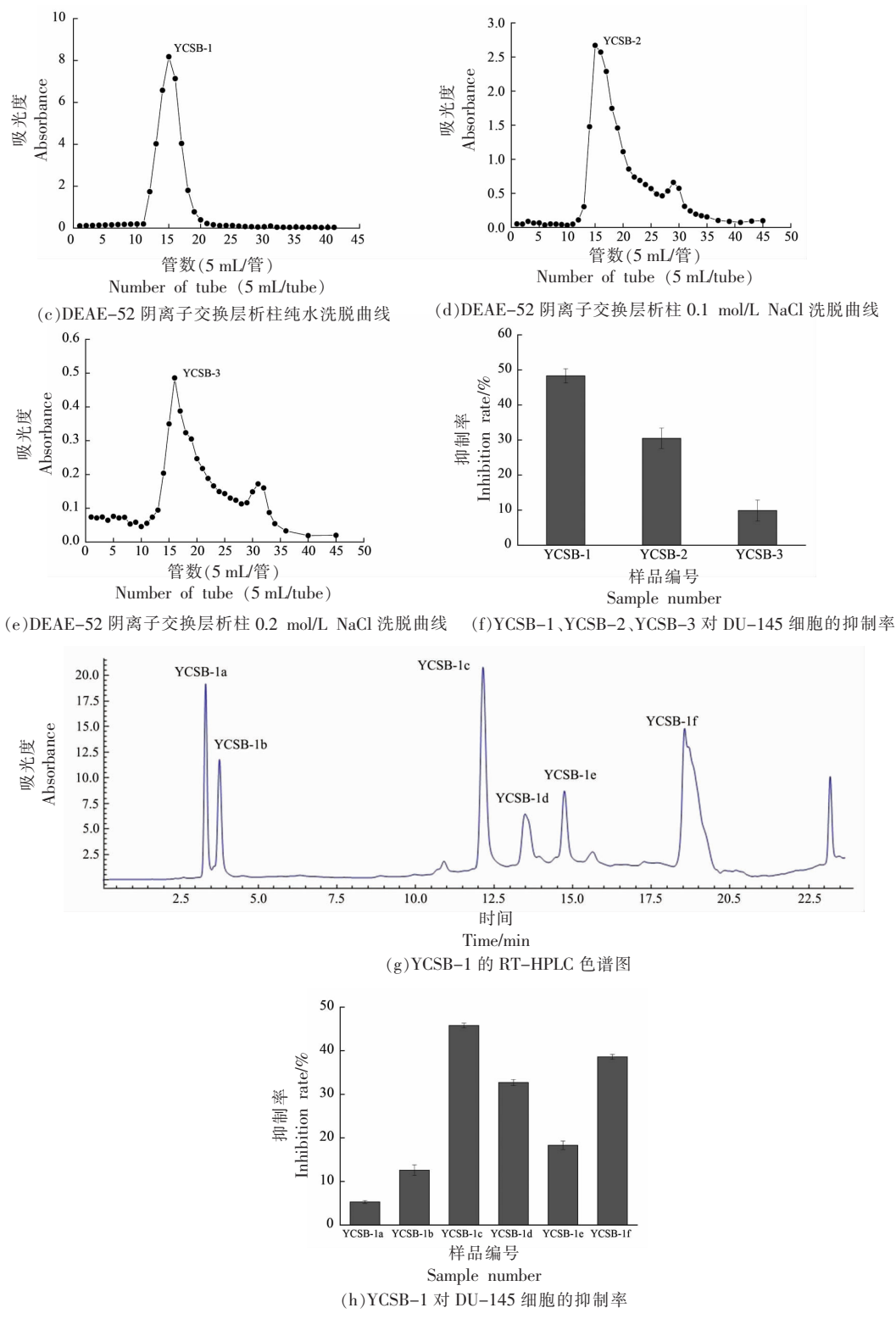


图 1 鱼鳔多肽的分离纯化

Fig.1 Separation and purification of peptide from yellow croaker swim bladder

收集高峰组分命名为 YCSB-2; 0.2 mol/L NaCl 洗脱曲线中也出现了 2 个峰，收集高峰组分命名为

YCSB-3。图 1f 为 YCSB-1、YCSB-2 和 YCSB-3 对 DU-145 细胞的抑制率，在 1 000 μg/mL 时，

YCSB-1 抑制率最高,为 48.3%。因此,对 YCSB-1 进行进一步纯化。

图 1g 为 YCSB-1 的 RT-HPLC 色谱图,峰型较好,分离效果较佳。图谱中出现 6 个不同的色谱峰组分,收集并分别命名为 YCSB-1a、YCSB-1b、YCSB-1c、YCSB-1d、YCSB-1e 和 YCSB-1f。这 6 个组分对 DU-145 细胞的抑制率如图 1h 所示,在 1 000  $\mu\text{g}/\text{mL}$  时,YCSB-1c 表现出最高的抑制率(45.8%),表明 YCSB-1c 是 YCSB-1 中一种重要

的抗前列腺癌肽。

### 2.3 多肽氨基酸序列鉴定

将 YCSB-1c 通过 LC-MS/MS 分析,对采集到的高分辨质谱数据进行 De novo 测序,共检测出 2 条四肽(表 2)。图 2 为 2 条四肽的二级质谱图,SPSP 的氨基酸序列为丝氨酸-脯氨酸-丝氨酸-脯氨酸(Ser-Pro-Ser-Pro),GPAR 的氨基酸序列为甘氨酸-脯氨酸-丙氨酸-精氨酸(Gly-Pro-Ala-Arg)。

表 2 YCSB-1c 的氨基酸序列鉴定

Table 2 Amino acid sequence identification of YCSB-1c

序列	保留时间/min	扫描离子	氨基酸数量	质荷比	质量/u	得分	偏差/u
SPSP	10.13	5 528	4	387.18	386.18	51	-19.2
GPAR	11.74	6 588	4	400.23	399.22	53	-2.7

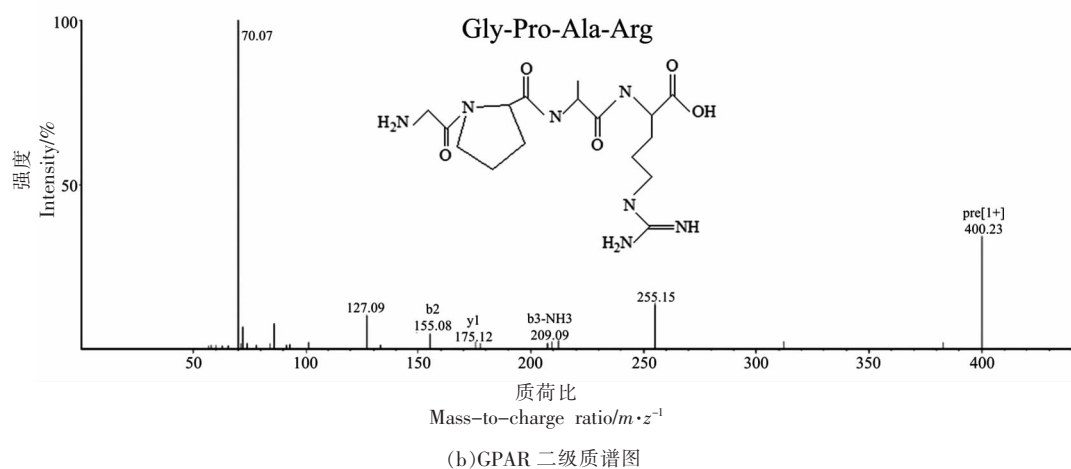
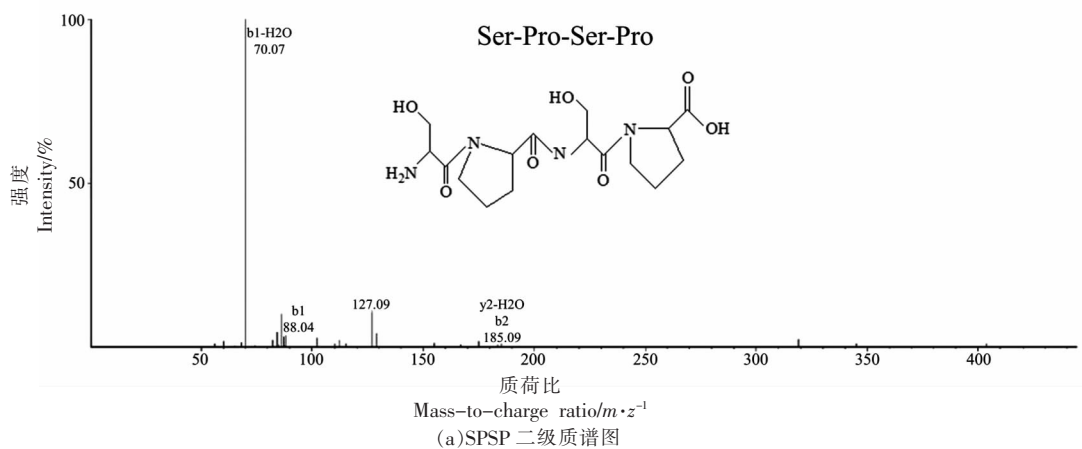


图 2 多肽的二级质谱图

Fig.2 The secondary mass spectrum of peptide

#### 2.4 AO/EB 染色

吖啶橙(AO)能透过细胞膜完整的细胞,将细胞核染成均匀的绿色荧光;而溴化乙锭(EB)只能透过细胞膜受损的细胞,嵌入核 DNA,使其发出橘红色荧光<sup>[13]</sup>。因此,可以利用 AO/EB 染色法来辨别正常细胞和凋亡细胞,YCSB-1c 作用后 DU-145 细胞的 AO/EB 染色结果如图 3 所示。图 3a 为空白组,细胞呈现均匀的绿色荧光,表明空白组中存在大量活细胞。图 3b、3c 和 3d 分别对应 YCSB-1c 的低(50 μg/mL)、中(250 μg/mL)和高质量浓度(750 μg/mL)组,随着 YCSB-1c 质量浓度增加,活细胞数量不断减少,凋亡细胞数量不断增加,表明 YCSB-1c 能诱导 DU-145 细胞凋亡,且作用效果呈现质量浓度依赖性。

#### 2.5 细胞凋亡分析

细胞经 Annexin V-FITC/PI 双染后,使用流式细胞仪能够准确地区分细胞的凋亡状态分布<sup>[14]</sup>。YCSB-1c 作用 DU-145 细胞 24 h 后,细胞的线粒体膜电位图如图 4 所示,图中 4 个象限表示细胞的不同状态:左上,坏死细胞;左下,正常细胞;右上,晚期凋亡细胞;右下,早期凋亡细胞。相较于空

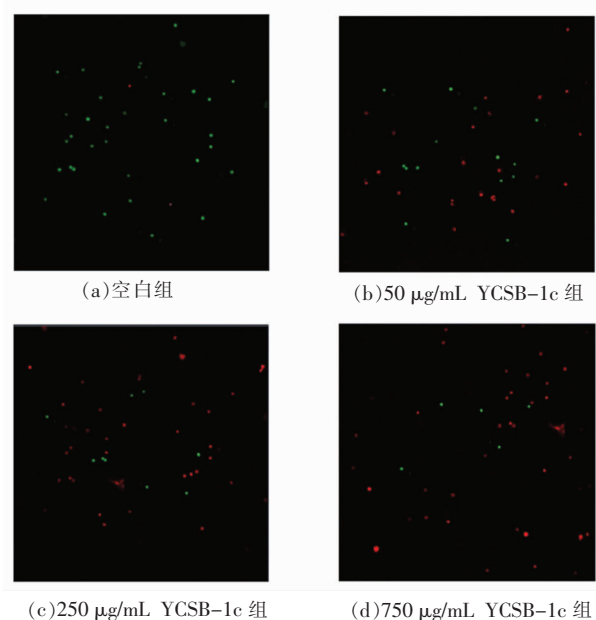


图 3 YCSB-1c 作用后 DU-145 细胞的 AO/EB 染色图

Fig.3 AO-EB staining of DU-145 cells after treatment with YCSB-1c

白组,YCSB-1c 组中凋亡细胞明显增多,其中早期凋亡细胞在 50 μg/mL 和 250 μg/mL YCSB-1c 组中有微小的增加,而在 750 μg/mL YCSB-1c 组中

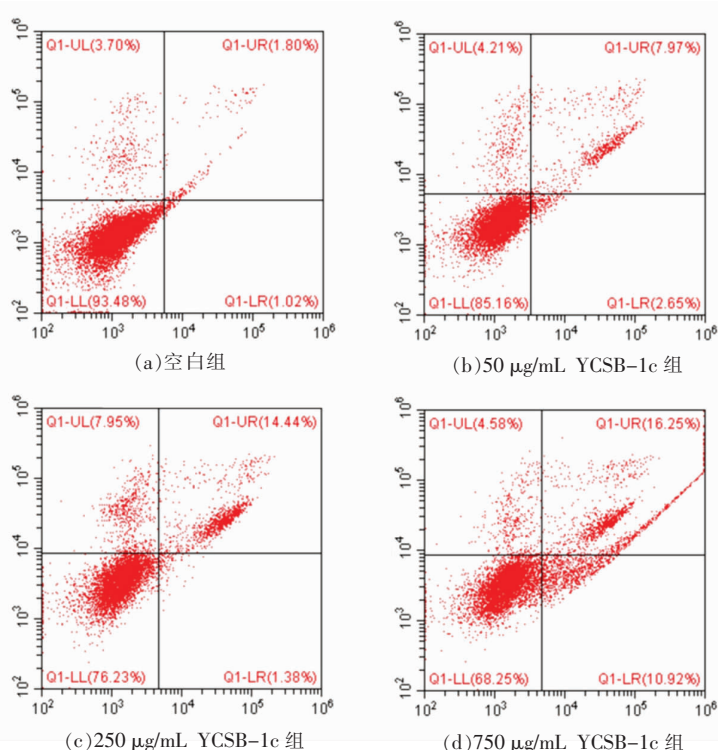


图 4 YCSB-1c 对 DU-145 细胞凋亡的影响

Fig.4 The effect of YCSB-1c on the apoptosis of DU-145 cells

早期凋亡细胞明显增加,达到10.92%。 $50\text{ }\mu\text{g}/\text{mL}$ 和 $750\text{ }\mu\text{g}/\text{mL}$ YCSB-1c组中的晚期凋亡细胞占比分别为7.97%,14.44%和16.25%,较空白组(1.80%)分别提升了342.78%,702.22%和802.78%。YCSB-1c促使DU-145细胞进入凋亡状态,且作用效果与质量浓度呈正相关,这与细胞的AO/EB染色结果一致。

## 2.6 细胞周期分析

细胞周期可分为4个阶段:G1期(DNA合成

前期)、S期(DNA合成期)、G2期(DNA合成后期)、M期(细胞分裂期)。YCSB-1c作用后DU-145细胞的细胞周期情况如图5和表3所示。由表3可知,与空白组相比,YCSB-1c组中G0/G1期细胞显著增多( $P<0.05$ ),且呈现质量浓度依赖性;S期和G2/M期细胞显著降低( $P<0.05$ ),这表明YCSB-1c将DU-145细胞的细胞周期阻滞在G0/G1期,阻止细胞进入S期合成DNA,进而诱导DU-145细胞凋亡。

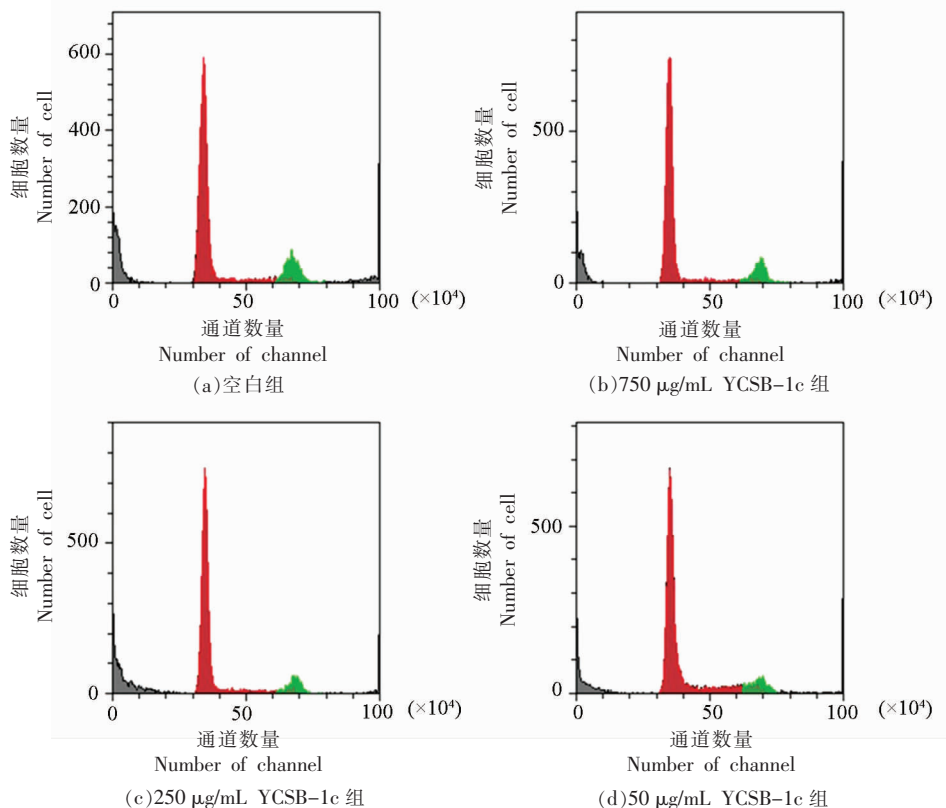


图5 YCSB-1c作用后DU-145细胞的细胞周期分布图

Fig.5 Cell cycle distribution profiles of DU-145 cells after treatment with YCSB-1c

表3 YCSB-1c作用后DU-145细胞的细胞周期分布结果

Table 3 Cell cycle distribution results of DU-145 cells after treatment with YCSB-1c

组别	细胞数量占比/%		
	G0/G1期	S期	G2/M期
空白组	$80.12 \pm 3.24^c$	$7.96 \pm 1.05^a$	$11.92 \pm 0.15^a$
50 $\mu\text{g}/\text{mL}$ YCSB-1c	$83.59 \pm 2.65^b$	$5.73 \pm 1.11^b$	$10.68 \pm 0.21^b$
250 $\mu\text{g}/\text{mL}$ YCSB-1c	$86.25 \pm 2.01^{ab}$	$5.32 \pm 0.97^b$	$8.43 \pm 0.31^c$
750 $\mu\text{g}/\text{mL}$ YCSB-1c	$88.38 \pm 2.25^a$	$4.28 \pm 0.39^e$	$7.34 \pm 0.25^d$

注:同列数据右上标字母不同表示差异显著( $P<0.05$ )。

## 2.7 免疫印迹检测蛋白表达

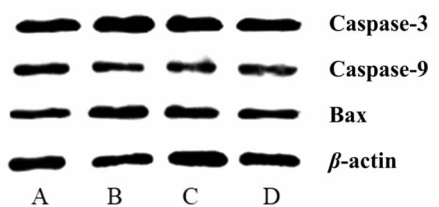
*Bax* 是一种促凋亡基因，能激活细胞线粒体凋亡途径，而 Caspase-3 和 Caspase-9 是执行凋亡的两种关键蛋白酶<sup>[15]</sup>。如图 6 所示，3 种凋亡蛋白条带清晰，无明显拖尾。与空白组相比，不同质量浓度 YCSB-1c 组中 *Bax*、Caspase-3 和 Caspase-9 蛋白表达量增加，且呈质量浓度依赖性(表 4)。这表明 YCSB-1c 能上调 *Bax*、Caspase-3 和 Caspase-9 蛋白表达，进而促使 DU-145 细胞凋亡。

## 3 讨论

生物活性肽的功能与其特定氨基酸组成有密切关系，本研究分离纯化得到的鱼鳔多肽 YCSB-1c 中含有 2 条四肽，分别为 SPSP (Ser-Pro-Ser-Pro)、GPAR (Gly-Pro-Ala-Arg)，其组成氨基酸均是黄鱼鱼鳔蛋白中的优势氨基酸<sup>[11]</sup>。Pro 是 2 条四肽中共有的氨基酸，在 SPSP 中占比高达 50%，其是构成抗癌肽的重要氨基酸成分，如 Huang 等<sup>[16]</sup>从蛭子中分离出两条多肽 Leu-Pro-Gly-Pro 和 Asp-Tyr-Val-Pro，并证实它们具备较好的抗前列腺癌活性；Shamova 等<sup>[17]</sup>从山羊白细胞中分离一条富含 Pro 的多肽 ChBac3.4，其能选择性地作用 K562 红血病细胞和 U937 囊性淋巴瘤细胞而不损伤人体正常细胞。此外，GPAR 中的 Gly、Arg 也被公认为是抗癌肽的主要氨基酸组成<sup>[18-19]</sup>。

细胞周期与细胞凋亡有着紧密的关联，细胞凋亡导致活细胞数量下降，引起细胞周期发生改变<sup>[20]</sup>。流式细胞仪检测 YCSB-1c 作用后 DU-145 细胞的细胞周期发现，与空白组相比，YCSB-1c 组中 G0/G1 期细胞显著增多 ( $P<0.05$ )，S 期和 G2/M 期细胞显著降低 ( $P<0.05$ )。YCSB-1c 将 DU-145 细胞周期阻滞在 G0/G1 期，这可能与细胞合成 DNA、核糖体和蛋白质受阻有关<sup>[21]</sup>。Huang 等<sup>[16]</sup>研究发现，抗前列腺癌肽 SCH-P10 作用后 DU-145 细胞中 G0/G1 期细胞数量增加，S 期和 G2/M 期细胞数量减少，与本研究的结果一致。

诱导癌细胞凋亡被认为是治疗癌症的有效手段。细胞凋亡主要包括线粒体凋亡、内质网应激和死亡受体凋亡 3 种途径<sup>[22]</sup>，其中线粒体凋亡途径主要由非 Caspase 依赖细胞凋亡诱导因子和细胞色素 C 介导<sup>[23]</sup>。细胞凋亡诱导因子介导的凋亡途



注：A. 空白组；B. 750  $\mu\text{g}/\text{mL}$  YCSB-1c 组；C. 250  $\mu\text{g}/\text{mL}$  YCSB-1c 组；D. 50  $\mu\text{g}/\text{mL}$  YCSB-1c 组。

图 6 YCSB-1c 作用后 DU-145 细胞中蛋白表达

Fig.6 Protein expression in DU-145 cells after treatment with YCSB-1c

表 4 YCSB-1c 作用后 DU-145 细胞中蛋白表达量

Table 4 Protein expression content in DU-145 cells after treatment with YCSB-1c

组别	Caspase-3	Caspase-9	Bax
空白组	1.94 ± 0.06 <sup>c</sup>	1.29 ± 0.04 <sup>c</sup>	1.36 ± 0.12 <sup>c</sup>
50 $\mu\text{g}/\text{mL}$ YCSB-1c	1.92 ± 0.05 <sup>c</sup>	1.35 ± 0.05 <sup>b</sup>	1.43 ± 0.07 <sup>c</sup>
250 $\mu\text{g}/\text{mL}$ YCSB-1c	2.02 ± 0.11 <sup>b</sup>	1.34 ± 0.08 <sup>b</sup>	1.57 ± 0.03 <sup>b</sup>
750 $\mu\text{g}/\text{mL}$ YCSB-1c	2.38 ± 0.09 <sup>a</sup>	1.42 ± 0.09 <sup>a</sup>	1.87 ± 0.11 <sup>a</sup>

注：同列数据右上标字母不同表示差异显著( $P<0.05$ )。

径为：药物引起线粒体内的细胞凋亡诱导因子释放，并转移到细胞核内，破坏细胞 DNA 进而导致细胞凋亡<sup>[24]</sup>。细胞色素 C 介导的凋亡途径为：当细胞中促凋亡蛋白 *Bax* 被激活时，会引起线粒体膜通透性增加，线粒体内的细胞色素 C 被释放到细胞质中，激活细胞中凋亡蛋白酶激活因子 (Apaf-1)，Apaf-1 能激活 Caspase-9<sup>[25]</sup>。细胞色素 C、Apaf-1 和 caspase-9 通过形成凋亡小体激活 Caspase-3，使核酸内切酶活化，引起 DNA 断裂最终导致细胞凋亡<sup>[26]</sup>。本研究中发现，YCSB-1c 作用后 DU-145 细胞中促凋亡蛋白 *Bax*、执行凋亡蛋白 Caspase-3 和 Caspase-9 表达上调，推测 YCSB-1c 诱导 DU-145 细胞凋亡的作用机制如图 7 所示。

综上所述，YCSB-1c 能将 DU-145 细胞的细胞周期阻滞在 G0/G1 期，促使 DU-145 细胞中 *Bax*、Caspase-3 和 Caspase-9 蛋白表达上调，最终诱导 DU-145 细胞凋亡，实现抗前列腺癌的功效。试验结果表明黄鱼鱼鳔肽具有成为抗前列腺癌药

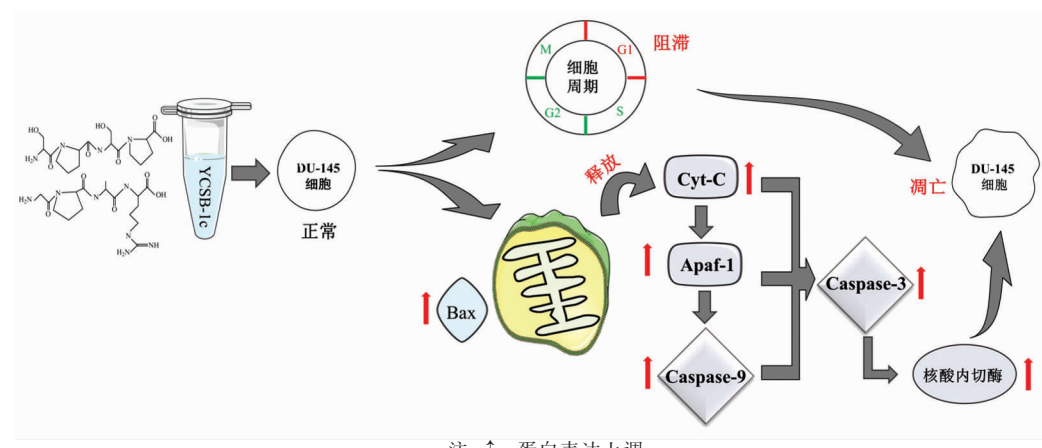


图 7 YCSB-1c 诱导 DU-145 细胞凋亡的作用机制

Fig.7 The mechanism of YCSB-1c inducing apoptosis of DU-145 cells

物的潜力。后续将人工合成黄鱼鱼鳔中的两条寡肽，研究它们对前列腺癌细胞的抑制效果和作用机制。

#### 4 结论

本文从黄鱼鱼鳔酶解产物分离得到鱼鳔肽 YCSB-1c，其包含 Ser-Pro-Ser-Pro 和 Gly-Pro-Ala-Arg 两条寡肽。YCSB-1c 对前列腺癌细胞 DU-145 有较好的抑制效果，其机制为：将 DU-145 细胞的细胞周期阻滞在 G0/G1 期，抑制细胞增殖；上调促凋亡蛋白 Bax、执行凋亡蛋白 Caspase-3 和 Caspase-9 的表达量，诱导细胞凋亡。本研究为黄鱼鱼鳔的抗前列腺癌保健品开发提供数据支持，并有效提高黄鱼鱼鳔的附加值。

#### 参 考 文 献

- [1] 董旭, 赵峡, 刘楚怡. 鱼鳔胶原肽的制备工艺及功能活性研究进展[J/OL]. 食品工业科技, (2021-07-20) [2021-08-30]. <https://doi.org/10.13386/j.issn1002-0306.2021030285>. DONG X, ZHAO X, LIU C Y. Progress in preparation and functional activity of fish swimming bladder collagen peptide[J/OL]. Science and Technology of Food Industry, (2021-07-20) [2021-08-30]. <https://doi.org/10.13386/j.issn1002-0306.2021030285>.
- [2] 涂宗财, 唐平平, 郑婷婷, 等. 响应面优化鱼鳔胶原肽制备工艺及其抗氧化活性研究[J]. 食品与发酵工业, 2017, 43(5): 160-166.
- [3] TU Z C, TANG P P, ZHENG T T, et al. Optimization of swimming bladder collagen peptide preparation using response surface methodology and its antioxidant activity research[J]. Food and Fermentation Industries, 2017, 43(5): 160-166.
- [4] 葛恩会, 刘涛. 鱼鳔功效溯源及其现代研究进展[J]. 中成药, 2020, 42(9): 2403-2406.
- [5] GE E H, LIU T. Traceability of the efficacy of fish bladder and its modern research progress[J]. Chinese Traditional Patent Medicine, 2020, 42(9): 2403-2406.
- [6] ZHAO W H, LUO Q B, PAN X, et al. Preparation, identification, and activity evaluation of ten antioxidant peptides from protein hydrolysate of swim bladders of miiuy croaker (*Miichthys miuiy*) [J]. Journal of Functional Foods, 2018, 47: 503-511.
- [7] REBECCA L S, KIMBERLY D M, AHMEDIN J, et al. Cancer statistics, 2020[J]. CA: A Cancer Journal for Clinicians, 2020, 70(1): 7-30.
- [8] 刘灿, 李想, 王雷, 等. 2005-2014 年中国前列腺癌流行特征[J]. 中华疾病控制杂志, 2021, 25(7): 806-811.
- [9] LIU C, LI X, WANG L, et al. Chinese prostate cancer epidemiological characteristics from 2005 to 2014[J]. Chinese Journal of Disease Control & Prevention, 2021, 25(7): 806-811.
- [10] WANG L H, DONG C, LI X, et al. Anticancer potential of bioactive peptides from animal sources (Review)[J]. Oncology Reports, 2017, 38(2): 637-

- 651.
- [8] MANSOURIAN M, BADIEE A, JALALI S A, et al. Effective induction of anti-tumor immunity using p5 HER-2/neu derived peptide encapsulated in fusogenic DOTAP cationic liposomes co-administrated with CpG-ODN[J]. Immunology Letters, 2014, 162 (1): 87–93.
- [9] RUSSO L C, ARAUJO C B, IWAI L K, et al. A Cyclin D2-derived peptide acts on specific cell cycle phases by activating ERK1/2 to cause the death of breast cancer cells [J]. Journal of Proteomics, 2017, 151(SI): 24–32.
- [10] 李宁, 石爱民, 刘红芝, 等. 生物活性肽抗癌活性及其作用机制研究进展[J]. 中国食品学报, 2019, 19(11): 261–269.
- LI N, SHI A M, LIU H Z, et al. Research progress of bioactive peptides' anticancer function and its mechanism of action[J]. Journal of Chinese Institute of Food Science and Technology, 2019, 19 (11): 261–269.
- [11] 赵敏豪, 黎攀, 张豫粤, 等. 不同来源鱼鳔的营养成分比较分析[J]. 食品研究与开发, 2020, 41(24): 12–17.
- ZHAO M H, LI P, ZHANG Y Y, et al. Comparison of nutritional quality in fish maw products from different sources [J]. Food Research and Development, 2020, 41(24): 12–17.
- [12] 梁钻好, 林凤英, 黎攀, 等. 结合预处理方法的酶法制备美藤果肽工艺的优化[J]. 食品工业科技, 2018, 39(12): 147–153.
- LIANG Z H, LIN F Y, LI P, et al. Optimization of *Sacha inchi* peptide preparation by enzymolysis combined with pretreatment methods[J]. Science and Technology of Food Industry, 2018, 39(12): 147–153.
- [13] SAJID A, PRABHU A. Anti-angiogenic, apoptotic and matrix metalloproteinase inhibitory activity of *Withania somnifera* (ashwagandha) on lung adenocarcinoma cells[J]. Phytomedicine, 2021, 90: 153639.
- [14] SONG N, MA J Y, HU W, et al. Lappaconitine hydrochloride inhibits proliferation and induces apoptosis in human colon cancer HCT-116 cells via mitochondrial and MAPK pathway [J]. Acta Histochemical, 2021, 123(5): 151736.
- [15] ANVARIFAR H, AMIRKOLAIE A K, JALALI A M, et al. Environmental pollution and toxic substances: Cellular apoptosis as a key parameter in a sensible model like fish[J]. Aquatic Toxicology, 2018, 204: 144–159.
- [16] HUANG F F, DING G F, YANG Z S, et al. Two novel peptides derived from *Sinonovacula constricta* inhibit the proliferation and induce apoptosis of human prostate cancer cells [J]. Molecular Medicine Reports, 2017, 16(5): 6697–6707.
- [17] SHAMOVA O, ORLOV D, STEGEMANN C, et al. ChBac3.4: A novel proline-rich antimicrobial peptide from goat leukocytes[J]. International Journal of Peptide Research and Therapeutics, 2009, 15 (2): 108–119.
- [18] SHOOMBATONG W, SCHADUANGRAT N, NANTASENAMAT C. Unraveling the bioactivity of anti-cancer peptides as deduced from machine learning [J]. Excli Journal, 2018, 17: 734–752.
- [19] CHIANGJONG W, CHUTIPONGTANATE S, HONGGENG S. Anticancer peptide: Physicochemical property, functional aspect and trend in clinical application (Review)[J]. International Journal of Oncology, 2020, 57(3): 678–696.
- [20] 郝帅, 回燕, 李爽, 等. 食用色素藻蓝蛋白对非小细胞肺癌 A549 细胞体外增殖和凋亡的影响[J]. 食品科学, 2019, 40(3): 158–164.
- HAO S, YAN Y, LI S, et al. Effect of C-phyco-cyanin as a food pigment on proliferation and apoptosis of non-small cell lung cancer A549 cells[J]. Food Science, 2019, 40(3): 158–164.
- [21] 金晶玉, 朱成杰, 权英实, 等. 罗哌卡因通过线粒体通路诱导人结直肠癌 SW620 细胞株凋亡的实验研究[J/OL]. 中国比较医学杂志, (2021-07-21)[2021-08-30]. <https://kns.cnki.net/kcms/detail/11.4822.R.20210721.1359.002.html>.
- JIN J Y, ZHU C J, QUAN Y S, et al. Ropivacaine induces apoptosis in a human colorectal cancer SW620 cell line via the mitochondrial pathway[J/OL]. Chinese Journal of Comparative Medicine, (2021-07-21) [2021-08-30]. <https://kns.cnki.net/kcms/detail/11.4822.R.20210721.1359.002.html>.
- [22] SIEGMUND D, LANG I, WAJANT H. Cell death-independent activities of the death receptors CD95, TRAILR1, and TRAILR2 [J]. Febs Journal, 2017, 284(8): 1131–1159.
- [23] 叶汉林, 乔淦, 王琳琳, 等. 原阿片碱通过线粒体凋亡途径抑制肝细胞癌生长[J/OL]. 药学学报, (2021-

- 04–01)[2021–08–30]. <https://doi.org/10.16438/j.0513-4870.2021-0319>.
- YE H L, QIAO G, WANG L L, et al. Protopine inhibits the growth of hepatocellular carcinoma through a mitochondrially mediated apoptosis pathway[J/OL]. *Acta Pharmaceutica Sinica*, (2021–04–01) [2021–08–30]. <https://doi.org/10.16438/j.0513-4870.2021-0319>.
- [24] WIRASWATI H L, HANGEN E, SANZ A B, et al. Apoptosis inducing factor (AIF) mediates lethal redox stress induced by menadione [J]. *Oncotarget*, 2016, 7(47): 76496–76507.
- [25] 孙瑜, 李连军, 杨最素, 等. 菲律宾蛤仔寡肽抗前列腺癌 DU-145 细胞的机制研究[J]. *水产学报*, 2017, 41(3): 465–472.
- SUN Y, LI L J, YANG Z S, et al. Effect of oligopeptides from *Ruditapes philippinarum* on proliferation and apoptosis of human prostate cancer DU-145 cells [J]. *Journal of Fisheries of China*, 2017, 41(3): 465–472.
- [26] REUBOLD T F, ESCHENBURG S. A molecular view on signal transduction by the apoptosome [J]. *Cellular Signalling*, 2012, 24(7): 1420–1425.

### Isolation of Peptide from Yellow Croaker Swim Bladder and Its Mechanism of Inducing Apoptosis of Prostate Cancer DU-145 Cells

Peng Dong<sup>1</sup>, Lai Yujian<sup>1</sup>, Tian Jianxin<sup>2,3</sup>, Zhong Biluan<sup>2,3</sup>, An Miaoqing<sup>1</sup>, Li Pan<sup>1,3</sup>, Du Bing<sup>1,3\*</sup>

(<sup>1</sup>College of Food Science, South China Agricultural University, Guangzhou 510642

<sup>2</sup>Guangdong Shenzhiyuan Health Technology Co. Ltd., Guangzhou 510000

<sup>3</sup>SCAU and Guanzhan Fish Maw Nutrition and Security Research Center, Guangzhou 510642)

**Abstract** The study aimed to investigate the mechanism of the peptide from yellow croaker swim bladder inducing apoptosis in prostate cancer DU-145 cells. Isolation and purification of the peptides from the enzymatic hydrolysate of yellow croaker swim bladder and identification of its amino acid sequences. The CCK-8 method was used to measure the inhibition rate of swim bladder peptide after treatment with YCSB-1c. AO/EB method was used to determine apoptosis in DU-145 cells. Flow cytometry was used to determine apoptosis rate and cell cycle in DU-145 cells, and western blot was used to determine the expression levels of apoptosis-related proteins. The results showed that the YCSB-1c contains two oligopeptides, Ser-Pro-Ser-Pro and Gly-Pro-Ala-Arg. Compared with the control group, the apoptotic cells in the YCSB-1c groups were significantly increased in a dose-dependent manner. Flow cytometry results showed that live cells in YCSB-1c groups were significantly decreased, while the late apoptotic cells were significantly increased. YCSB-1c blocked the cell cycle of DU-145 cells in G0/G1 phase, up-regulated the protein expression of Bax, Caspase-3 and Caspase-9, and induced DU-145 cells apoptosis. YCSB-1c could effectively induce apoptosis in DU-145 cells, and the underlying mechanism is related to cell cycle block and mitochondria-mediated apoptotic pathway.

**Keywords** yellow croaker swim bladder; anti-prostate cancer peptide; DU-145 cells; apoptosis mechanism